

## 病例报告

## 螺旋CT诊断肝脏上皮样血管内皮瘤1例报告

肖日国

江苏省泰兴市第三人民医院CT室,江苏 泰兴 225400

**摘要:**目的 分析肝脏上皮样血管内皮细胞瘤的CT影像表现,提高对肝脏上皮样血管内皮细胞瘤的诊断水平。方法 东大螺旋CT平扫、增强扫描、延迟扫描,分析肝脏上皮样血管内皮细胞瘤平扫、增强扫描、延迟扫描的影像图像。结果 肝脏弥漫性低密度病灶,边界欠清晰,增强扫描病灶轻度强化,延迟扫描病灶中央部有结节样强化,边缘始终无强化。结论 肝脏上皮样血管内皮瘤多分布在肝包膜下,增强后病灶轻度强化,有肝包膜凹陷征,有病灶融合征象。无明显边缘强化,未见有钙化征象,螺旋CT检查有它独有的影像表现。

**关键词:**X线计算机;体层摄影术;肝脏肿瘤;上皮样血管内皮瘤

肝脏上皮样血管内皮细胞瘤最早于1982年由Weiss和Enzinger首先描述并命名的<sup>[1]</sup>。上皮样血管内皮瘤多发生多发生在软组织、肺、骨、脑,亦可发生在脾脏、乳腺等脏器<sup>[2]</sup>。发生在肝脏部位的甚少,有文献统计发病率约0.003%,男女发病比率约为2:3,发病年龄可小到10多岁,大到80多岁,平均年龄45岁<sup>[3]</sup>。最早在肝脏认为是转移性肿瘤,直至在1984年Ishak才发现为肝脏原发性肿瘤<sup>[4]</sup>。肝脏上皮样血管内皮瘤(HEHE)是一种起源于血管的低度恶性肿瘤,恶性程度介于血管瘤和血管内皮肉瘤之间<sup>[5]</sup>。HEHE临床表现可有食欲不振、厌食、消瘦、呕吐、黄疸等现象,其病因不明,有文献认为与口服避孕药史、氯乙烯污染、病毒性肝炎、自身免疫等有关<sup>[6]</sup>。病理切片检查是确诊HEHE的金标准。治疗多以放、化疗、肝移植等方法。预后不一,3~10年存活率都有,有文献报道1位肝移植治疗的HEHE患者存活时间超过15年<sup>[7]</sup>。

## 1 资料与方法

## 1.1 临床资料

患者,男,44岁,一般情况好,未诉有任何不适。无发热、盗汗,无咳嗽、咳痰、纳差、大小便异常、消瘦现象,无巩膜黄染及全身黄疸征象。查体:无体表淋巴结肿大征象,肝脏肋下未及,无明显异常病理反射征象。实验室检查:ALP、GGT、GOP、GDP、r-GT、AFP、CEA均未异常增高现象。2016年2月9日在我院体检时,B超偶尔发现“肝脏多发占位”。

## 1.2 方法

患者行螺旋CT扫描,扫描前认真对患者进行呼吸训练,力求做到每次屏气程度一致。扫描范围从膈顶部到双侧肾脏下缘。层厚、层距各为10 mm,螺距为1.0,

窗宽为200 HU,窗位为50 HU。患者仰卧,双手抱头,屏气。分别做常规10 mm平扫、非离子碘海醇100 mL造影剂以2.5 mL/s增强动脉期扫描、门脉期扫描及延迟4 min扫描。然后观察4种条件下产生的CT图像并对比分析。

## 2 结果

本文四幅图片为患者肝脏同一平面不同时间的CT影像。图1A显示该患者肝脏内见有数十个大小不等的低密度病灶,最大者约2.3 cm×2.0 cm,平扫边界欠清楚,绝大部分病灶位于肝包膜下2 cm左右范围内。靠近肝包膜的病灶,出现了“肝包膜凹陷征”,部分病灶有融合征象,未见有钙化灶存在。图1B显示有些病灶推挤血管,部分病灶包绕血管,动脉期病灶呈现轻度强化,边缘未见明显强化;图1C显示门脉期病灶仍然强化不明显,部分病灶中央呈点状高密度影,无渐进式造影剂充填征象;图1D显示延迟4 min扫描,绝大部分病灶中央呈结节状强化,边缘无明显强化,整体病灶仍呈低密度影,与正常肝组织密度差异明显。腹腔内、腹膜后均未见明显肿大淋巴结,腹腔内无积液。随后患者去上海中山医院检查PET-CT等一系列检查,活检切片确诊为肝脏上皮样血管内皮瘤。未经确切治疗。

## 3 讨论

CT影像上HEHE小到几毫米,大到8 cm,一般在2 cm左右<sup>[7]</sup>。肝脏上可单个病灶,绝大多数是多发病灶,多的可达数十个甚至上百个<sup>[8]</sup>。一般分布在肝包膜下2 cm范围内,呈周边分布,极少病灶在肝脏深部<sup>[2]</sup>。平扫病灶98%左右为低密度,2%的患者可表现为略高密度或不均匀密度,高分辨率CT可显示病灶中央有更低密度影,边缘不是清晰,可有出血、钙化等征象,贴近肝包膜的可见“肝包膜凹陷征”<sup>[13]</sup>增强动脉及门脉期病灶

收稿日期:2016-06-01

作者简介:肖日国,副主任医师,E-mail: abcantty567@sohu.com

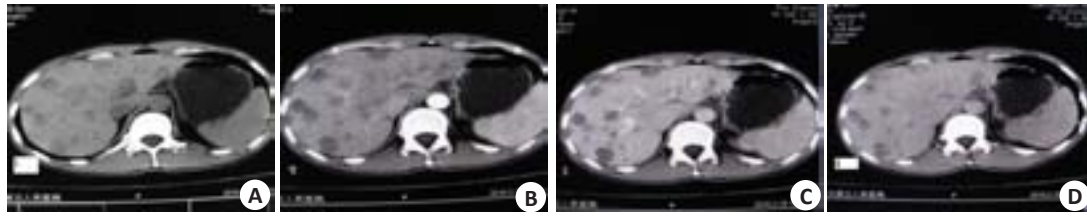


图1 患者肝脏同一平面不同时间的CT影像

A: 平扫显示多发性低密度病灶, 绝大部分病灶在肝包膜下 2 cm 左右范围内分布; B: 增强动脉期, 部分病灶边缘轻度强化; C: 门静脉期, 少部分病灶呈现晕征, 无渐进性充填; D: 延迟期, 绝大部分病灶呈现晕征, 无充填。

均呈轻度强化, 边缘可有强化, 延迟扫描病灶没有渐进式充填征象, 绝大多数病灶呈晕征表现。磁共振检查 T1WI 显示低信号, T2WI 显示中高信号<sup>[7]</sup>。本文病例没有任何不适, 一切检查包括肝功能、AFP、CEA 检查均呈阴性, 常规体检时偶尔发现, 这与之前报道的许多病例相比较有些特殊, 病灶也相对较多, 可用弥漫来形容。与之前的病例比较, 这个病例病灶没有钙化, 没有出血, 增强扫描边缘基本没有强化, 但是有肝包膜下分布的特点, 有肝包膜凹陷征, 有病灶融合征象, 延迟扫描时绝大多数病灶才显示明显的晕征。

总之, 肝脏上皮样血管内皮细胞瘤, 可能没有任何临床表现, 影像科医师只能凭 CT 和 MR 图像, 根据 HEHE 的固有形态及分布特征、造影剂增强扫描特点等作出判断, 最后明确诊断需靠病理科切片检查。

肝脏上皮样血管内皮瘤 CT 影像上主要和肝海绵状血管瘤、肝脏转移瘤及肝脏血管肉瘤鉴别, 和良性血管瘤还是好鉴别的, 不加赘述。和肝脏转移瘤鉴别相对较困难, 但是转移瘤增强显示牛眼征, HEHE 显示晕征, 而且肝脏转移瘤分布没有 HEHE 有特征, 再结合临床, 还是可以鉴别<sup>[9, 11]</sup>。肝脏血管肉瘤也是少见恶性肿瘤, CT 图像上一般数目比血管内皮瘤少, 在肝脏内分布也没有 HEHE 规律, 形态上比 HEHE 大, 平扫一般呈低密度, 其内密度均匀或不均匀, 边界不清晰<sup>[10]</sup>。增强动脉期呈中心斑点状强化, 少数呈边缘结节状强化, 随后呈渐进式强化特点, 最后和肝脏等密度强化<sup>[12]</sup>。巨块型病

灶多成小片状不均匀渐进式强化, 整个病灶的强化程度低于肝实质密度, 这些表现与海绵状血管瘤及 HEHE 存在区别。

#### 参考文献:

- [1] 高翔, 王金宁, 欧阳继业, 等. 肝脏上皮样血管内皮瘤的 CT 及 MRI 表现[J]. 宁夏医学杂志, 2013, 35(2): 123-5.
- [2] 缪建良, 刘森, 陈达伟. 肝脏上皮样血管内皮瘤的影像学特征[J]. 放射学实践, 2011, 26(7): 736-8.
- [3] 吕鹏, 林江, 周易, 等. 肝脏上皮样血管内皮瘤: 影像表现和病理基础[J]. 中国医学计算机成像杂志, 2011, 17(5): 416-9.
- [4] 潘晶, 丛文铭. 肝脏上皮样血管内皮瘤[J]. 临床与实验病理学杂志, 2003, 19(1): 85-7.
- [5] 梁晓, 张红梅. 肝脏上皮样血管内皮瘤影像学 and 病理学特征[J]. 中华肿瘤杂志, 2015, 7(4): 59-61.
- [6] 徐嫵, 陈燕萍, 王琦, 等. 原发性肝脏血管肉瘤的螺旋 CT 表现[J]. 临床放射学杂志, 2011, 30(9): 1306-9.
- [7] 赵桂玖, 王庆兵, 曾蒙苏, 等. 肝上皮样血管内皮细胞瘤的 CT 和 MRI 表现[J]. 中国临床医学影像杂志, 2015, 23(8): 51-4.
- [8] 张晓山, 李晓辉. CT 诊断肝脏上皮样血管内皮瘤 1 例[J]. 山东医药, 2010, 50(5): 53-9.
- [9] 陈漪. 肝上皮样血管内皮瘤的诊断与鉴别诊断[J]. 实用肝脏病杂志, 2013, 10(5): 398-400.
- [10] 唐浩, 邹丹凤, 张妮, 等. 肝脏原发性血管肉瘤的 CT 表现[J]. 临床放射学杂志, 2011, 31(10): 139-41.
- [11] 栾成明. 肝脏转移瘤的 CT 表现与病理分析[J]. 中国社区医师: 医学专业, 2012, 14(26): 212-4.
- [12] 陆伟忠, 周建良, 付引弟. 肝脏少见血管源性恶性肿瘤的 CT 表现[J]. 中国 CT 和 MRI 杂志, 2012, 10(3): 54-5, 59.